

Vieillissement, rajeunissement et mémoire:
des échelles de longueur dans les verres de spin ?

F. Bert, V. Dupuis, J. Hammann, F. Ladieu, D. Parker, E. Vincent

J.-P. Bouchaud

*Service de Physique de l'Etat Condensé, CEA Saclay, France
(CNRS URA 2464)*

séminaire LPS ENS, 27 octobre 2004

work supported in part by the SPHINX and DYGLAGEMEM programs

1. Vieillessement : dans les verres de spin, et ailleurs
2. Rajeunissement et mémoire
3. Verres de spin : Ising \leftrightarrow Heisenberg ?
4. Échelles de longueur pour le vieillissement

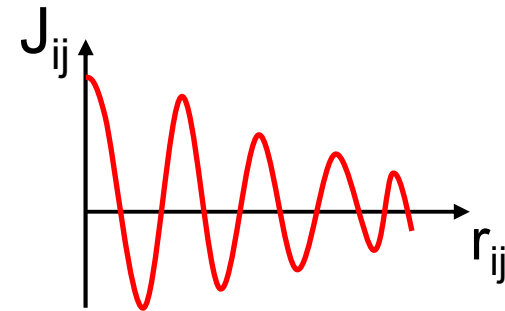
verre de spin \equiv système magnétique désordonné et frustré

Théorie : interactions magnétiques aléatoires

$$H = -\sum J_{ij} S_i \cdot S_j \quad \{J_{ij}\} \text{ distribués en gaussienne (ou en } \pm J)$$

Verres de spin "réels" : dilution aléatoire d'ions magnétiques

- alliages métalliques : e.g. Cu:Mn 3%
interactions RKKY



- isolants : $\text{CdCr}_{1.7}\text{In}_{0.3}\text{S}_4$, $\text{Eu}_{0.3}\text{Sr}_{0.7}\text{S}$
interactions de super-échange

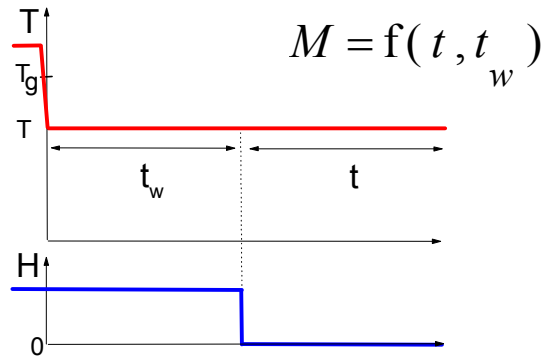
F ($\uparrow\uparrow$) proches voisins, AF ($\uparrow\downarrow$) voisins d'ordre supérieur

même comportement ("générique") dans tous les échantillons
($T_c \neq 0$ en 3d, dynamique lente, vieillissement...)
 \rightarrow systèmes désordonnés "modèles"

Verres de spin: dynamique lente + vieillissement

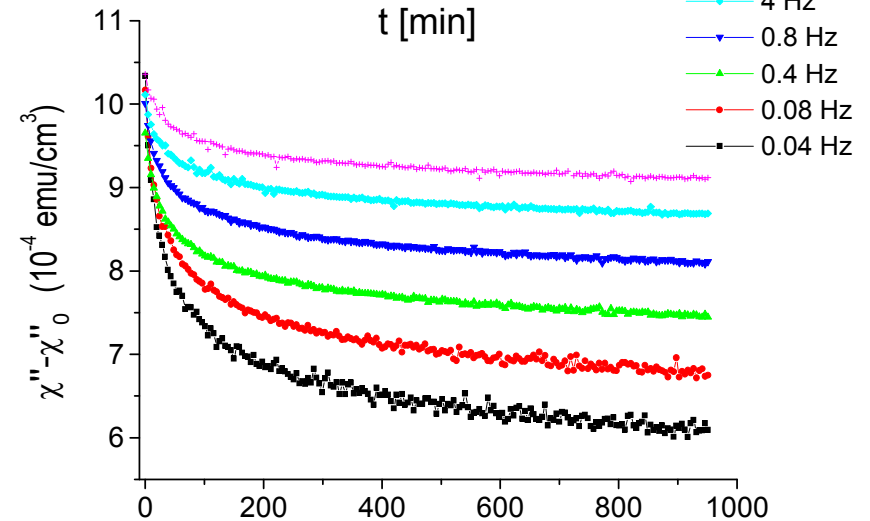
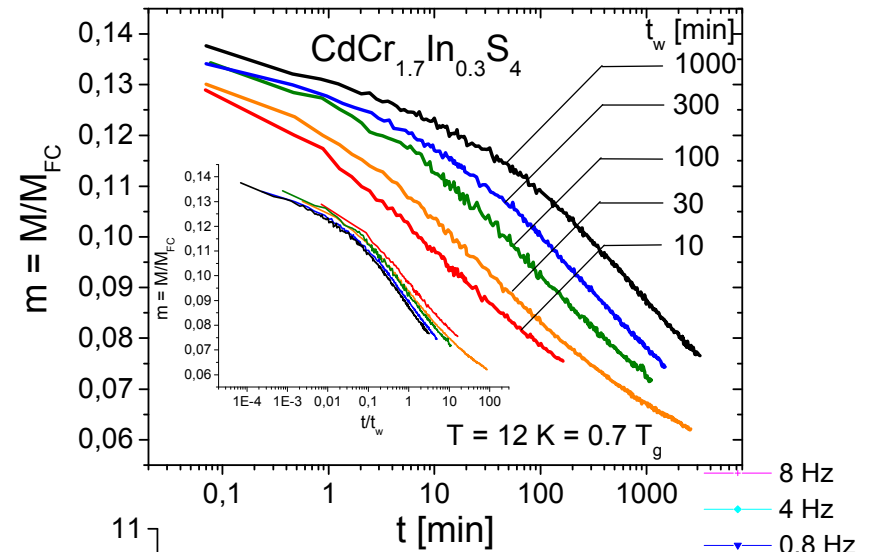
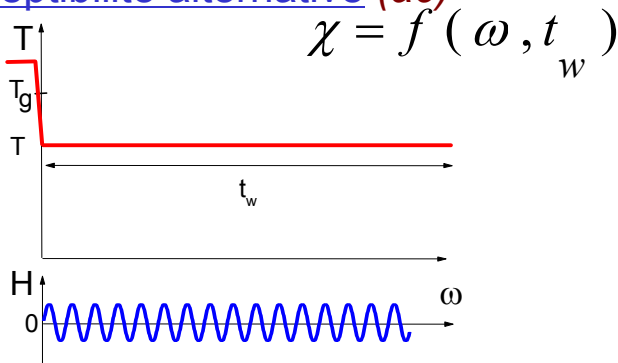
80' Uppsala (Lundgren, Nordblad)
 Saclay (Hammann, Ocio, Alba, Vincent)

Aimantation thermo-rémanente (TRM) (dc)



t_w : waiting time
 t : observation time

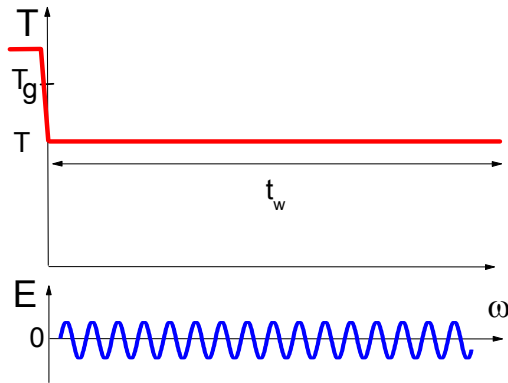
Susceptibilité alternative (ac)



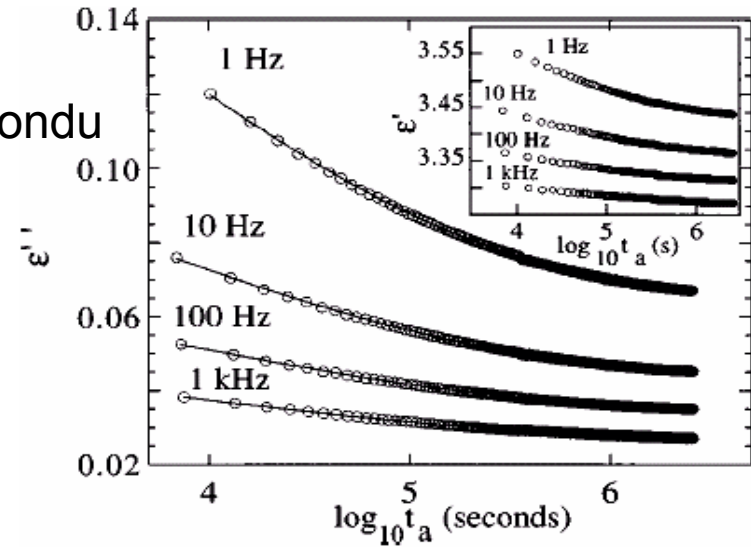
→ Dynamique non-stationnaire : (t, t_w) (dc) , (ω, t_w) (ac) t_w (min)
 Lois d'échelle (1ère approx.) : $\sim t/t_w$ (dc) , ωt_w (ac)

Vieillessement des verres

Réponse diélectrique d'un liquide surfondu

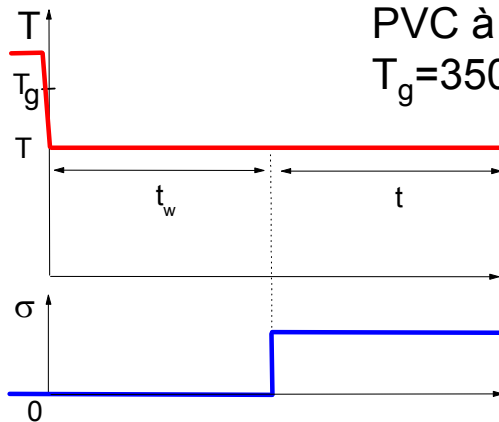


glycérol
à 178K
 $T_g=190K$

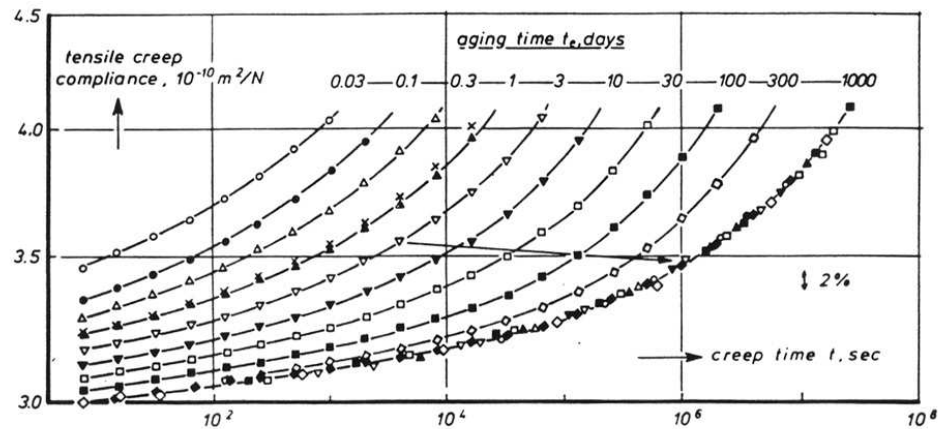


glycérol
Leheny et al. (1998)

Réponse mécanique d'un polymère



PVC à 310K
 $T_g=350K$



PVC
Struik (1978)

→ ~ mêmes lois d'échelle que dans les verres de spin : ωt , t / t_w

Aging \equiv growth of a local random ordering ?

Fisher Huse droplet model idea (1988)

is the spin glass a “disguised ferromagnet” ?

PHYSICAL REVIEW B **69**, 184423 (2004)

Aging dynamics of the Heisenberg spin glass

L. Berthier*

*Theoretical Physics, 1 Keble Road, Oxford OX1 3NP, United Kingdom
and Laboratoire des Verres UMR 5587, Université Montpellier II and CNRS, 34095 Montpellier, France*

A. P. Young†

*Department of Physics, University of California, Santa Cruz, California 95064, USA
(Received 12 December 2003; published 28 May 2004)*

FIG. 5. The relative orientation of the spins in two copies of the system, Eq. (9), is encoded on a gray scale in a $60 \times 60 \times 60$ simulation box at three different waiting times $t_w = 2, 27, \text{ and } 57\,797$ (from top to bottom) at temperature $T = 0.04$. The growth of a local random ordering of the spins is evident.



$t_w = 2$



$t_w = 27$



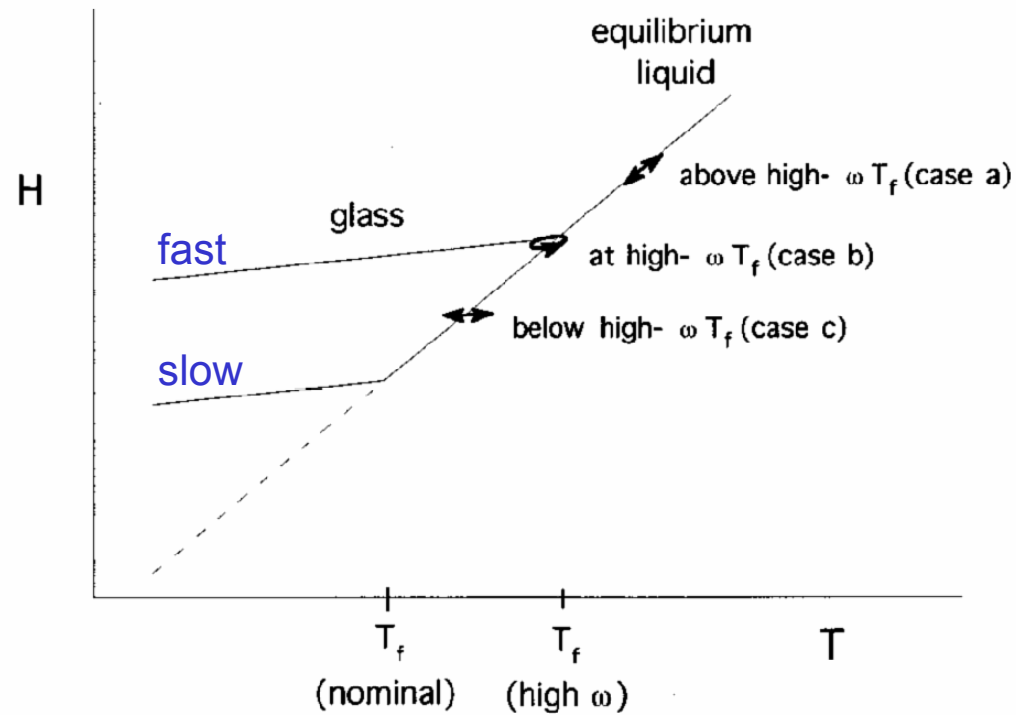
$t_w =$
 57797

grey scale = $\cos \theta_i(t_w) = \mathbf{S}_i^a(t_w) \cdot \mathbf{S}_i^b(t_w)$

1. Vieillissement : dans les verres de spin, et ailleurs
2. Rajeunissement et mémoire
3. Verres de spin : Ising \leftrightarrow Heisenberg ?
4. Échelles de longueur pour le vieillissement

GLASS-FORMING LIQUIDS

slower cooling rate \rightarrow closer to equilibrium



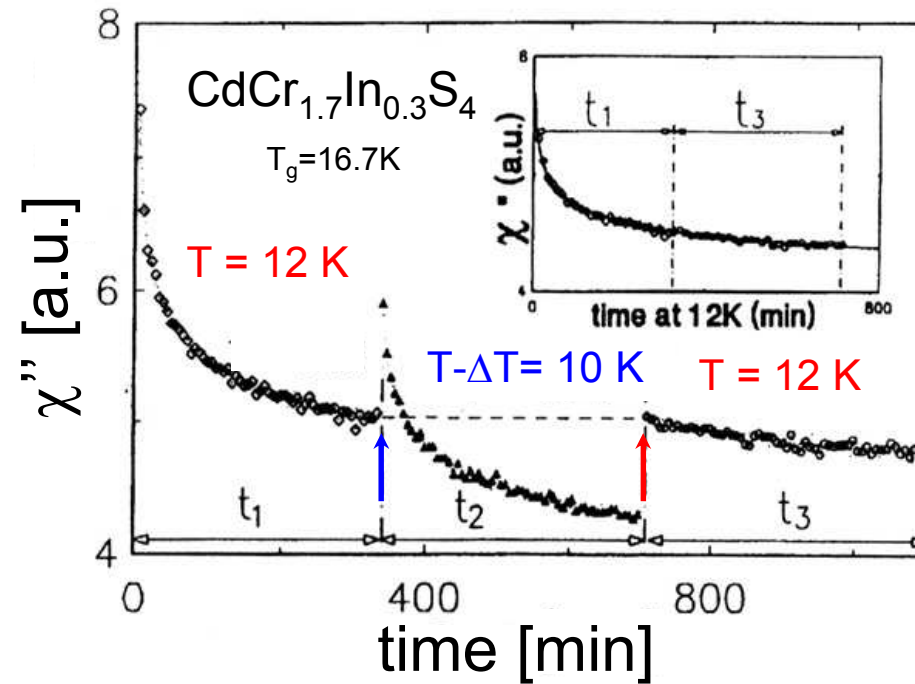
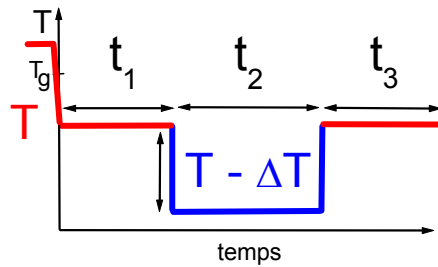
Kovacs 1964

Simon & McKenna
J. Chem. Phys. **107**
(1997) 8678

FIG. 2. Enthalpy versus temperature schematic showing two glasses, one obtained at a conventional cooling rate and the other at a higher rate. Situations (a)–(c) are described in the text.

Aging, rejuvenation and memory

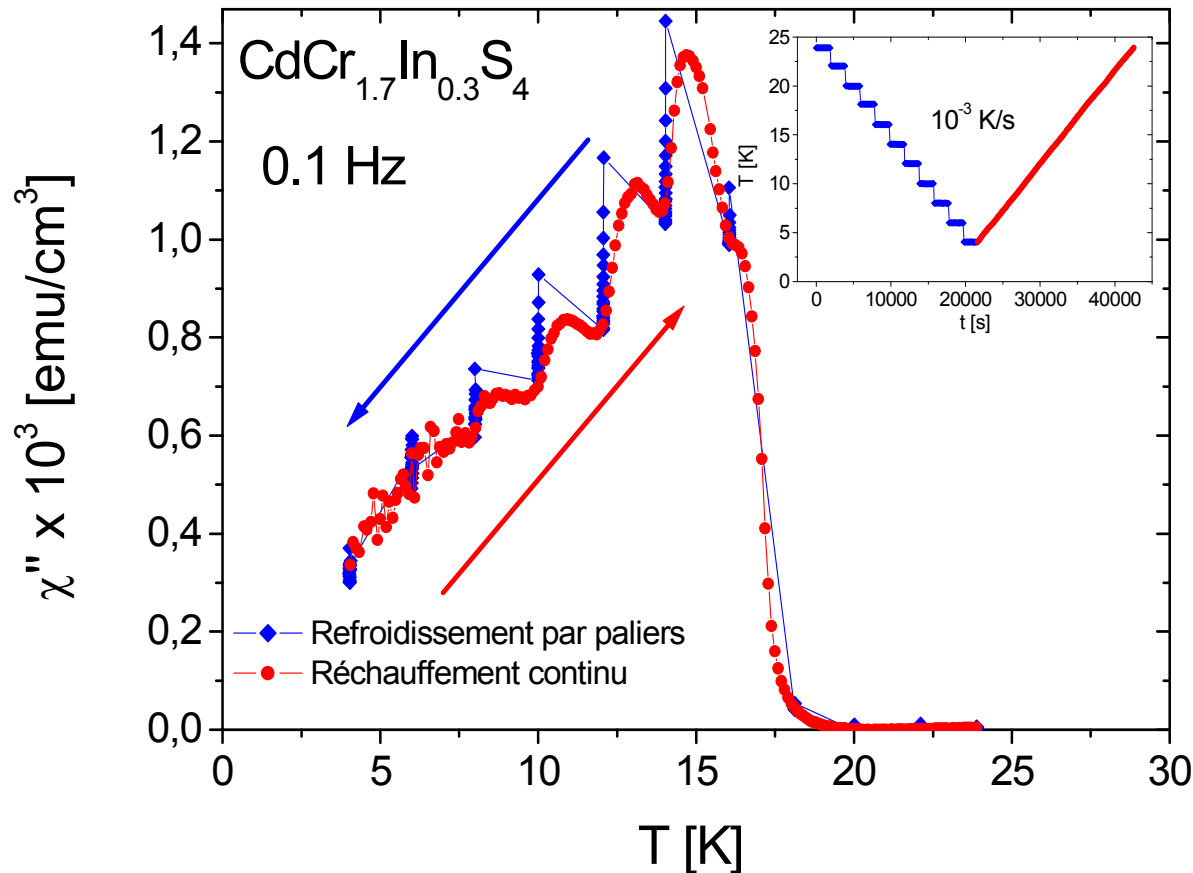
"negative cycling" of a spin-glass (old results!)



$T \downarrow$: rejuvenation, restart of the relaxation

$T \uparrow$: memory, no effect of the time spent at $T - \Delta T$

Rejuvenation and memory effects : not simply domain growth-like



At each T step

$$T \rightarrow T - \Delta T, L_{T-\Delta T}^* \ll L_T^*$$

Rejuvenation \Rightarrow
different equilibrium
correlations at different T's

Memory \Rightarrow
 $L_n^* \ll \dots \ll L_2^* \ll L_1^*$
strong T-separation of the
aging length scales
(« T-microscope » effect)

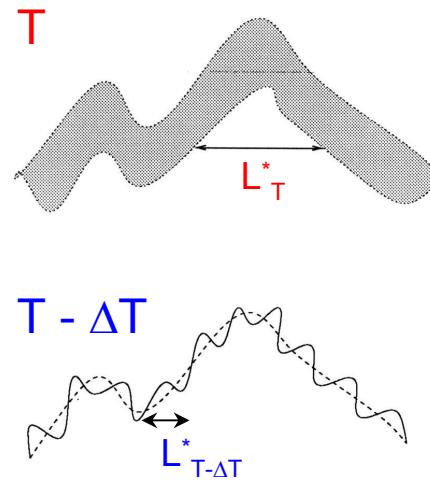
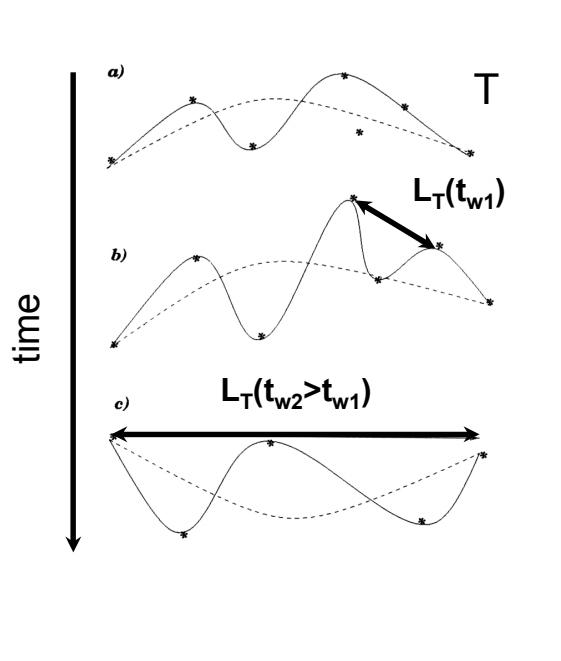
T↓ : rejuvenation
T↑ : memory

V. Dupuis et al, cond-mat/0406721

« memory dips » experiments:
Uppsala / Saclay *PRL* **81**, 3243 (1998)

Aging as a growing correlation length

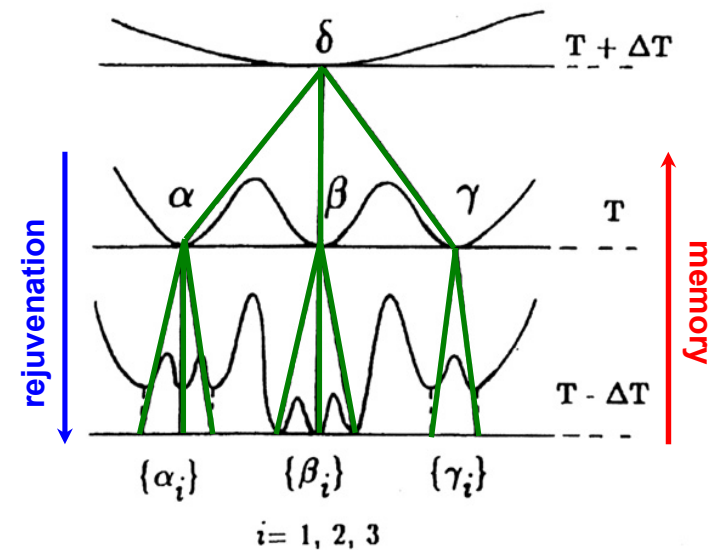
model system:
 elastic line in pinning disorder
hierarchy of reformation length scales



Bouchaud (2000)

$$T \rightarrow T - \Delta T \quad L_{T-\Delta T}^* \ll L_T^*$$

In « phase space » :
 hierarchical organization of the metastable states as a function of T

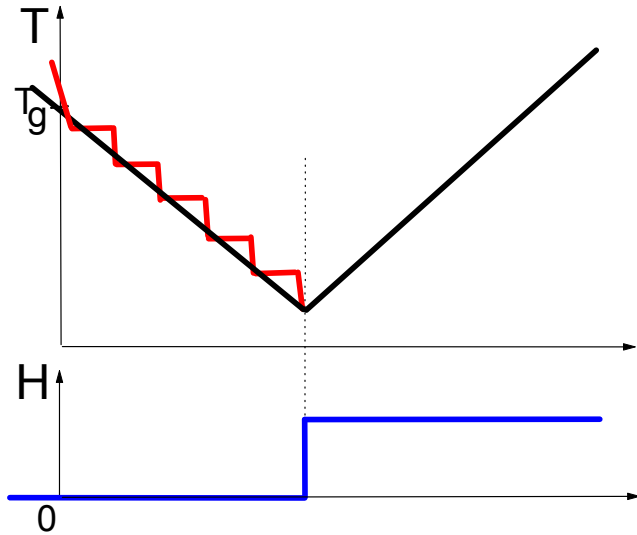


Quantitatively:

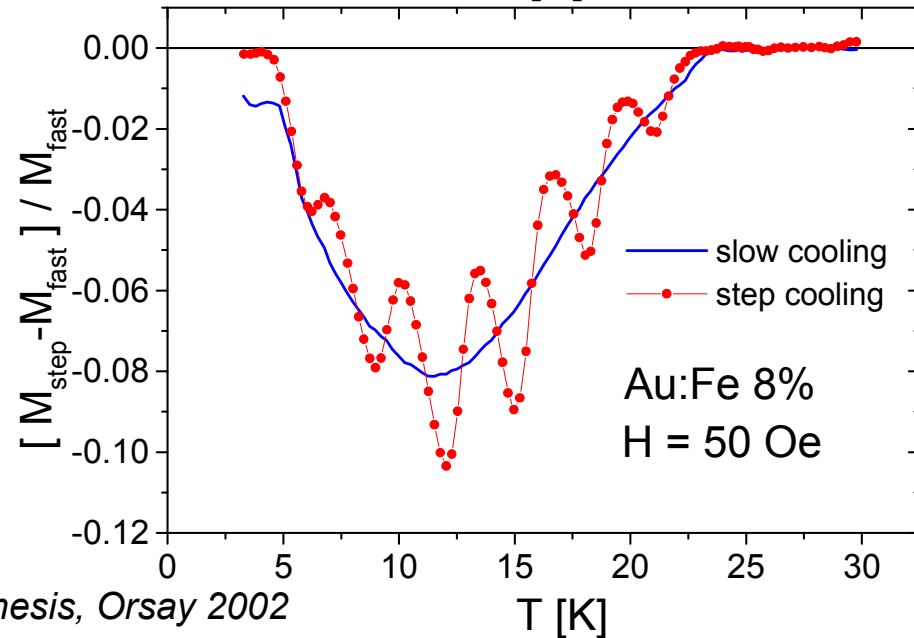
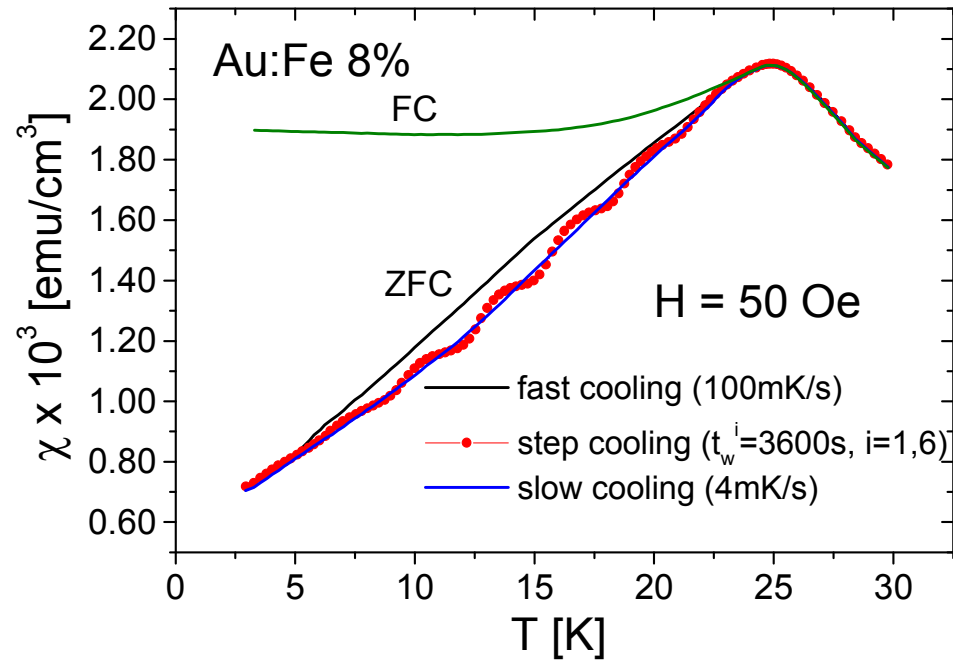
- Derrida 1981 1986 (*REM, GREM*)
- Bouchaud and Dean 1995 (*trap model*)
- Sasaki and Nemoto 2000
- Sasaki et al, *EPJ B* **29**, 469 (2002)

Spin glass : no cooling rate effects at all ?

ZFC procedure with stops
(Uppsala 2001)



aging \equiv combination of
 { cooling rate effects
T-cumulative
 rejuvenation & memory effects
T-specific



The spin glass dynamics of gelatine gels

Alan Parker and Valéry Normand

Research Division, Firmenich SA (Geneva, Switzerland)

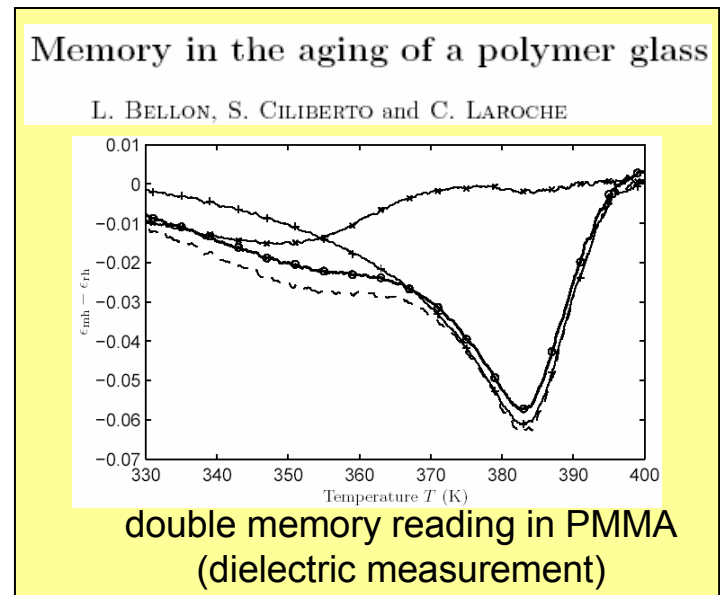
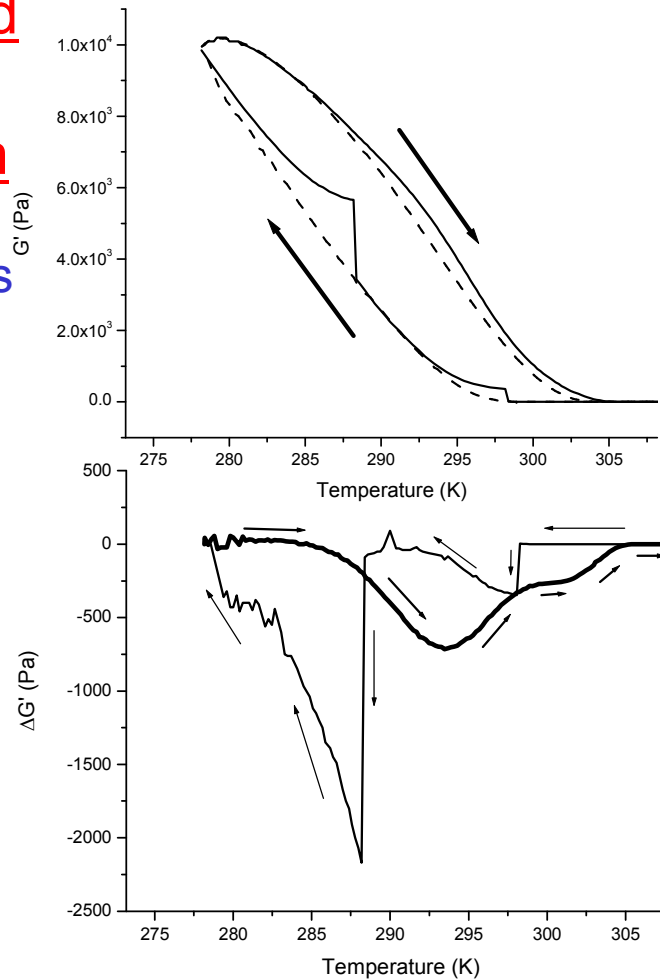
cond-mat/0306056

Elasticity measured during heating and cooling at 0.2K/min

dashed line: continuous heating and cooling

solid line: with 2 stops (2h at 25° and 15°C)

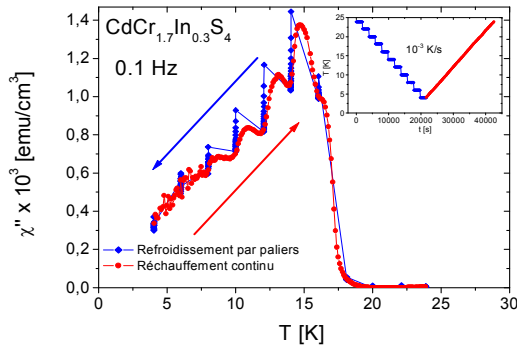
Bottom figure : difference plot



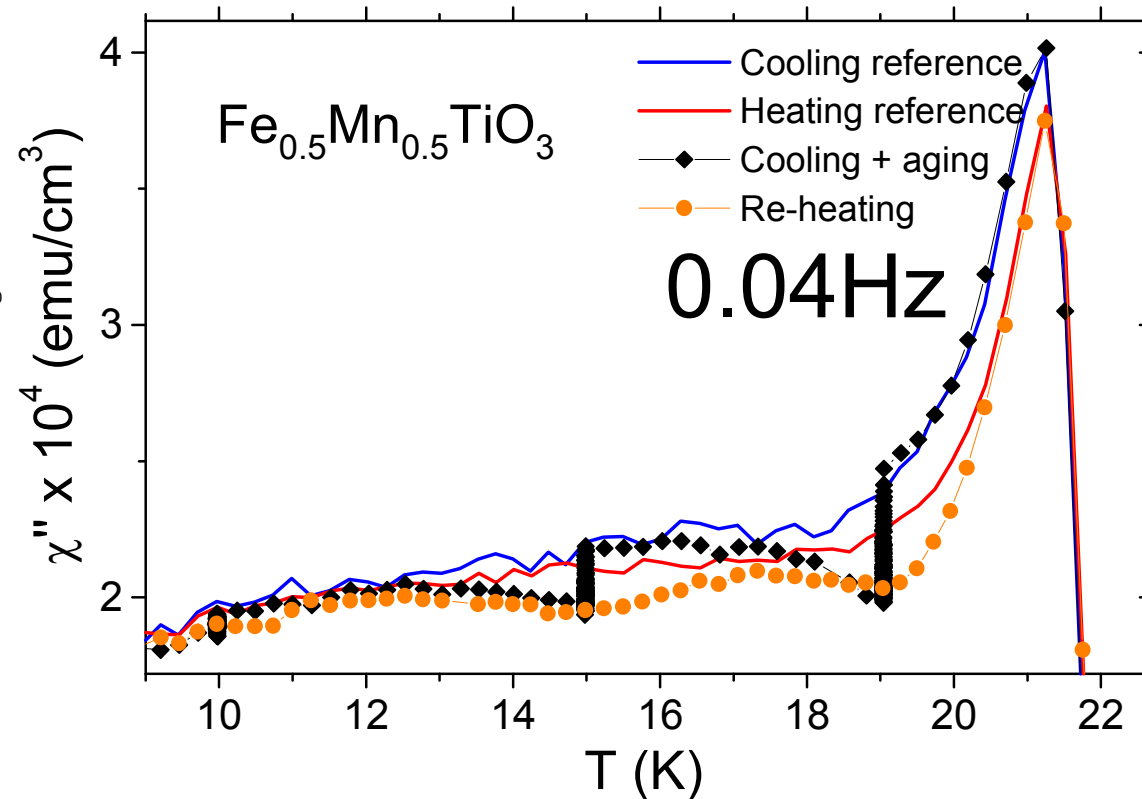
double memory reading in PMMA (dielectric measurement)

1. Vieillissement : dans les verres de spin, et ailleurs
2. Rajeunissement et mémoire
3. Verres de spin : Ising \leftrightarrow Heisenberg ?
4. Echelles de longueur pour le vieillissement

Ising spins (simulations) ↔ Heisenberg spins (experiments) ?
Rejuvenation and memory in an Ising spin glass



Dupuis et al, Phys. Rev. B **64**,
 174204 (2001)



R&M effects are present in the Ising SG – but not so sharp
aging is here more 'cumulative' from one T to the other

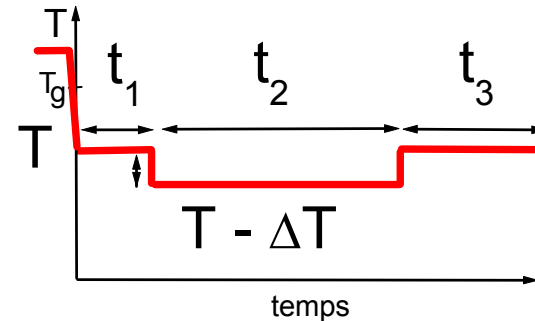
Temperature cycling experiments : a quantitative study (Ising to Heisenberg : 5 spin-glass examples)

small $\Delta T \rightarrow$ cumulative regime, \sim no rejuvenation

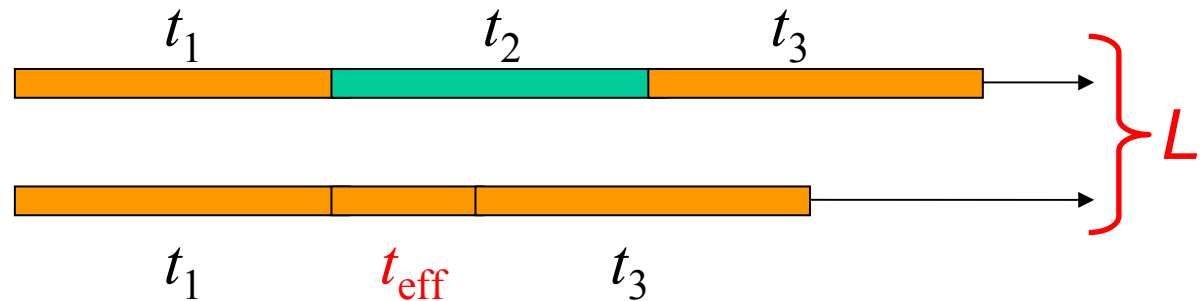
Samples :

Ising	K (a.u.)
(1) $\text{Fe}_{0.5}\text{Mn}_{0.5}\text{TiO}_3$	---
(2) (FeNi)PBAI	16.5
(3) Au:Fe _{8%}	8.25
(4) $\text{CdCr}_{1.7}\text{In}_{0.3}\text{S}_4$	5
(5) Ag:Mn _{2.7%}	1
Heisenberg	

↑ anisotropy



Perform 2 experiments (ac or dc):



with t_{eff} chosen such that both experiments yield the same stage of aging (here: same TRM relaxation)

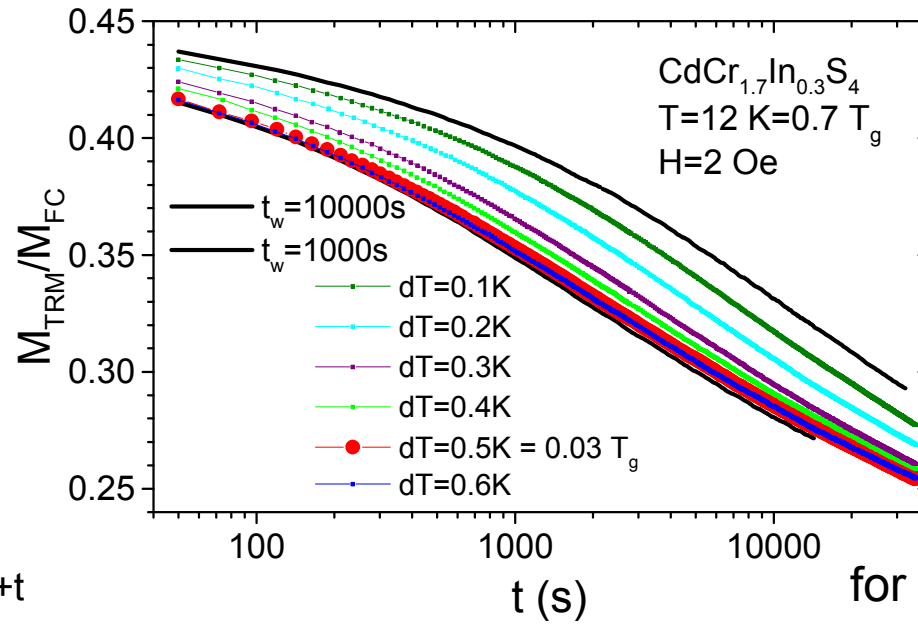
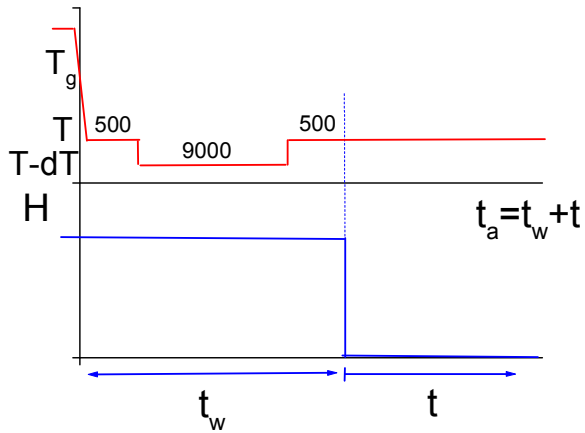
$$L(t_2, T - \Delta T) = L(t_{\text{eff}}, T)$$

$$\rightarrow L(t, T) \text{ from the } \Delta T\text{-experiments}$$

How far does aging « accumulate » between T - dT and T ?

(how fast do the aging time/length scales separate with temperature ?)

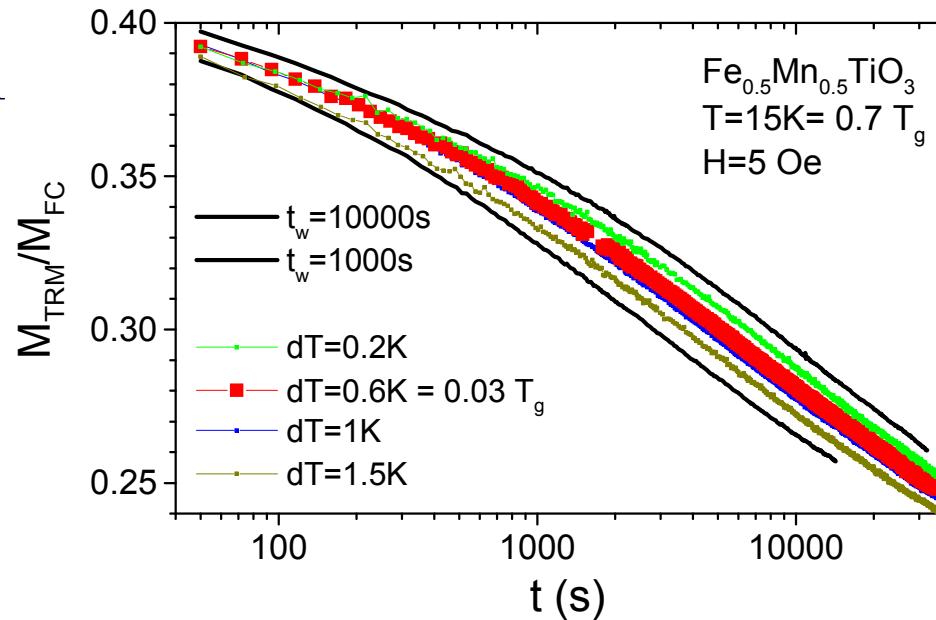
TRM experiments with temperature cycling during t_w



~ Heisenberg
weak contribution of T - dT to T



for a given $dT=0.03 T_g$



strong contribution of T - dT to T

Ising



From Ising to Heisenberg: sharper and sharper memory effects

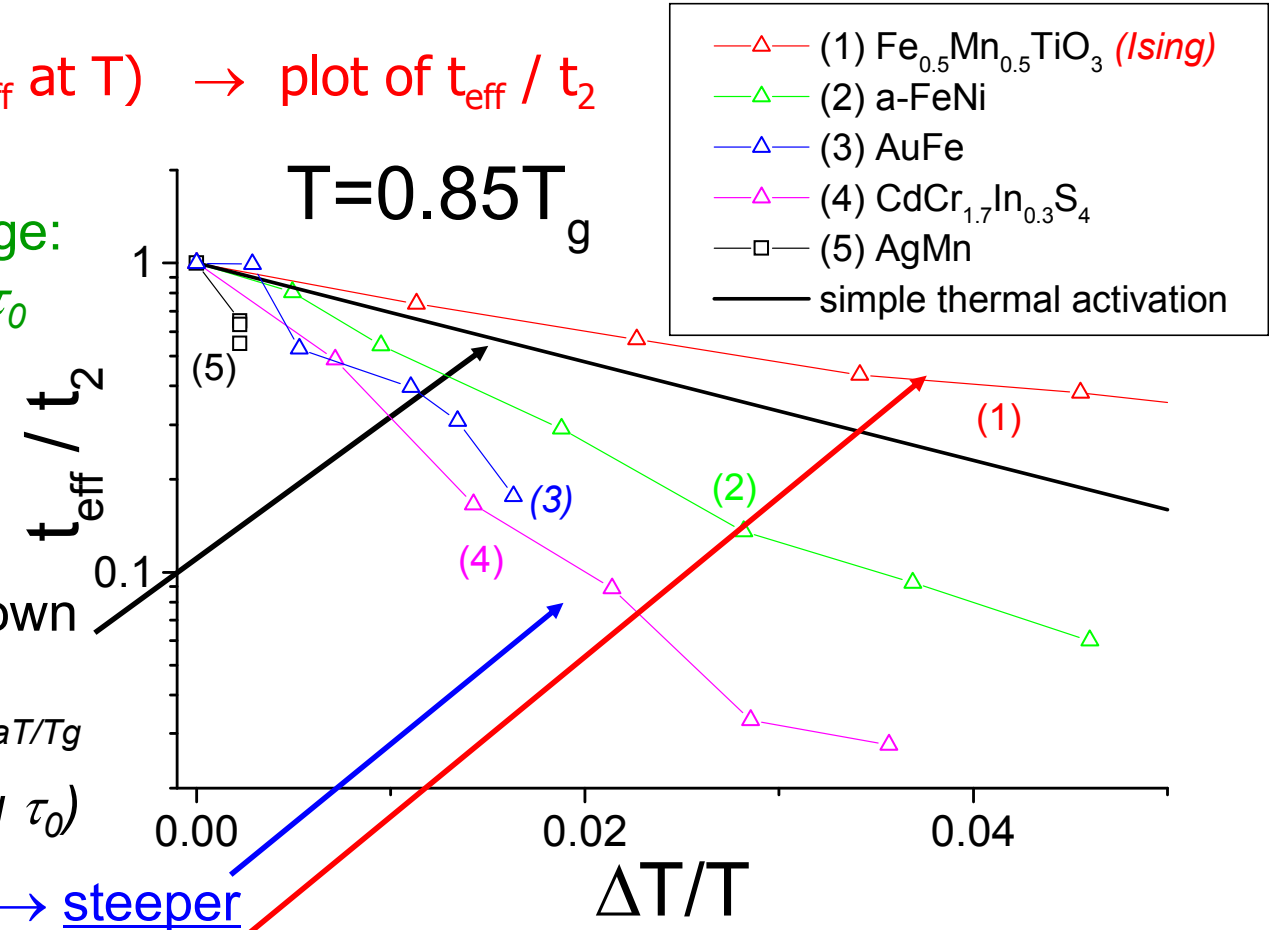
$(t_2 \text{ at } T-\Delta T) \equiv (t_{\text{eff}} \text{ at } T) \rightarrow \text{plot of } t_{\text{eff}} / t_2$

thermal activation language:
 $U_L(T-\Delta T) = (T-\Delta T) \cdot \ln t_2 / \tau_0$
 $U_L(T) = T \cdot \ln t_{\text{eff}} / \tau_0$

simple thermal slowing down
 $U_L(T) = U_L(T-\Delta T)$
 power law case $L \sim (t/\tau_0)^{aT/Tg}$
 (straight line of slope $\sim \log \tau_0$)

Heisenberg-like samples \rightarrow steeper
 $U_L(T) < U_L(T-\Delta T)$

Ising sample \rightarrow softer
 $U_L(T) > U_L(T-\Delta T) ???$
 \rightarrow influence of critical fluctuations
 (attempt time $\tau_0 \gg$ microscopic)



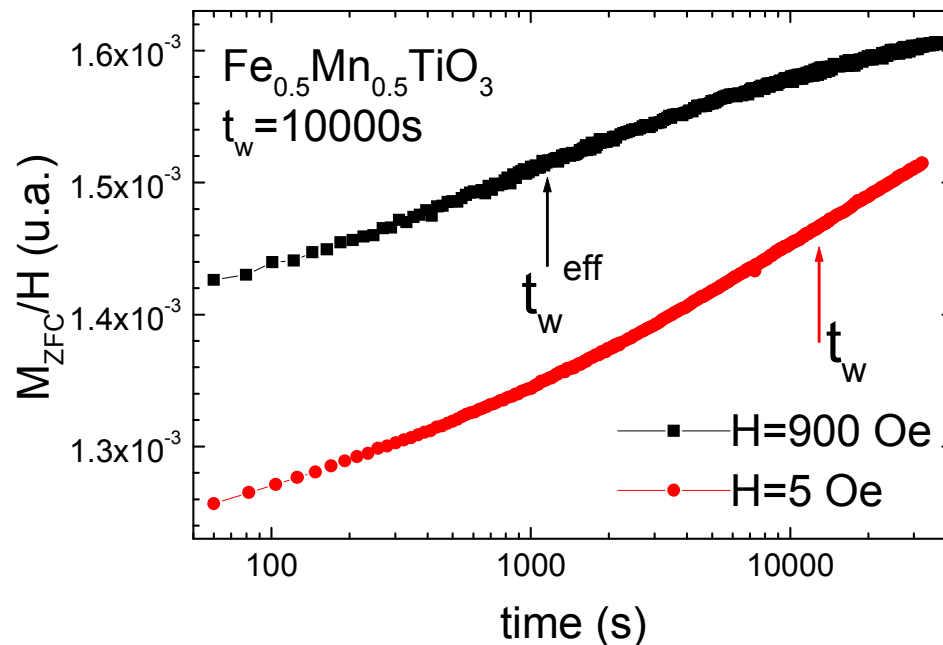
\downarrow
 go beyond a simple power law
 $L \sim t^{aT/Tg}$

1. Vieillissement : dans les verres de spin, et ailleurs
2. Rajeunissement et mémoire
3. Verres de spin : Ising \leftrightarrow Heisenberg ?
4. Echelles de longueur pour le vieillissement

An (indirect) measurement of the growth of the correlation length during aging

influence of the field amplitude on the relaxation of the *dc* magnetization

Y.G. Joh et al, PRL 82, 438 (1999)
+ *Saclay new data*



as $H \uparrow$,

the relaxations become faster

inflection point $t_w \rightarrow t_w^{eff}$

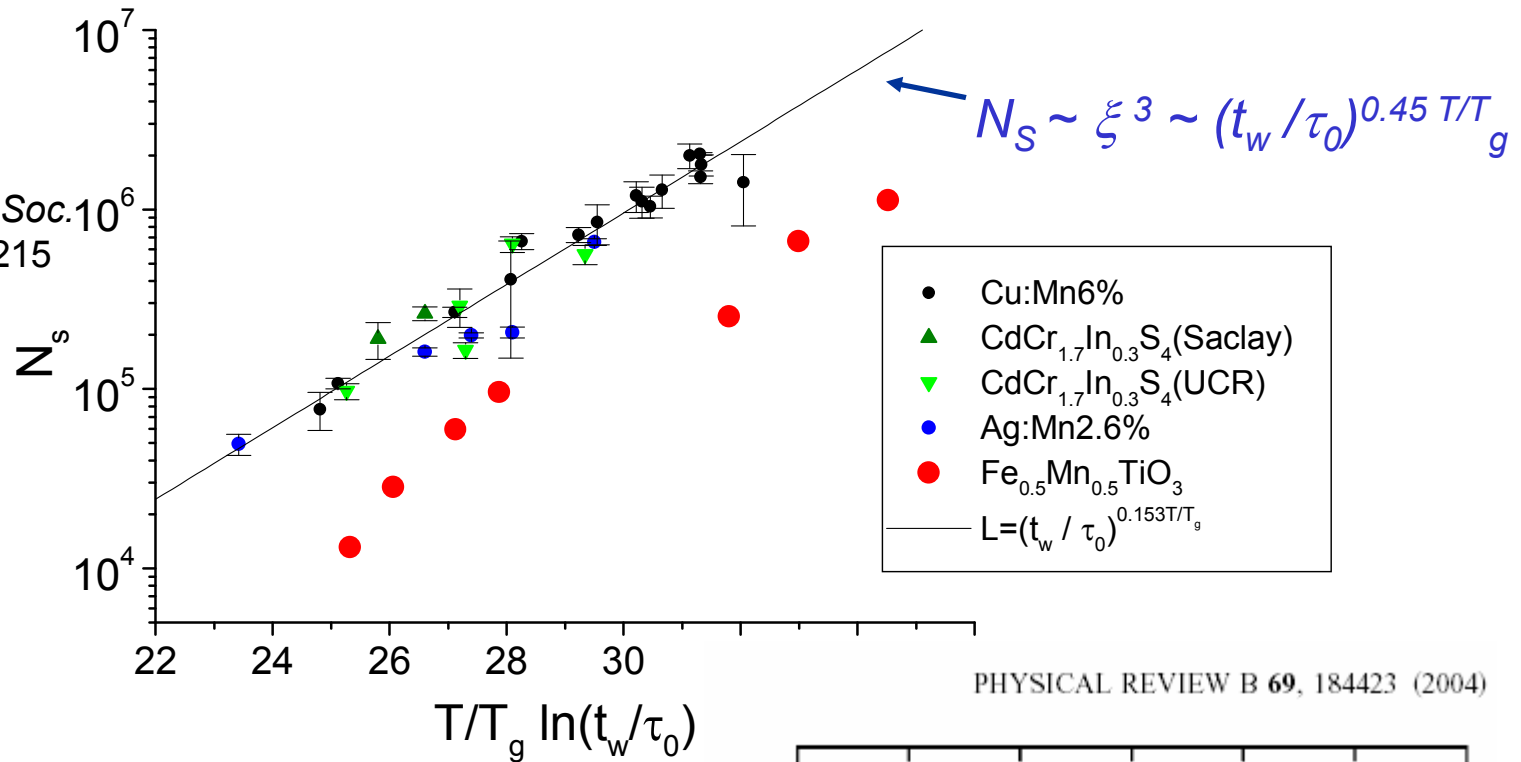
\Leftrightarrow barrier decrease: $\Delta \rightarrow \Delta - E_Z(H)$
 $E_Z(H, t_w) \equiv$ Zeeman coupling of H to
an increasing number of correlated spins $N_s(t_w)$

$$\Delta = k_B T \cdot \text{Ln } t_w \rightarrow \Delta - E_Z(H) = k_B T \cdot \text{Ln } t_w^{eff}(H)$$

measurement of $t_w^{eff}(H) \rightarrow E_Z(H, t_w) = N_s(t_w) \cdot \chi \cdot H^2$

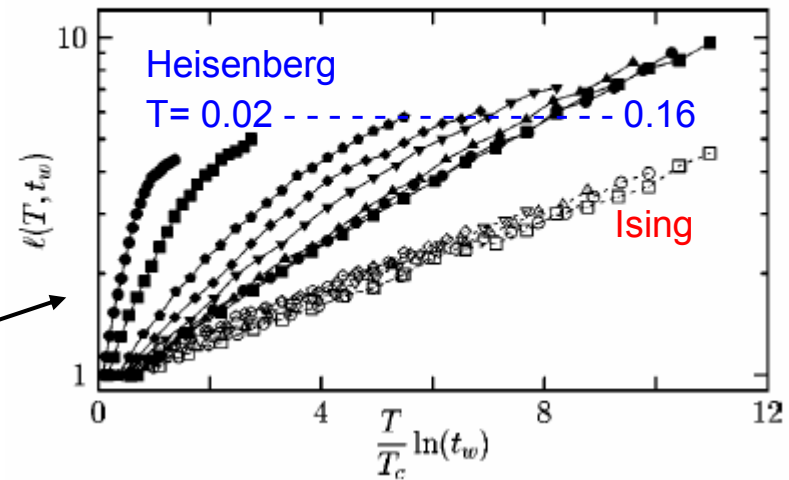
\rightarrow number of correlated spins $N_s(t_w) \rightarrow L(t_w) = N_s(t_w)^{1/3}$

Joh et al, *J. Phys. Soc. Jpn.* **69** Suppl. A, 215 (2000)



Ising spin glass: smaller N_s , although growing faster
 in agreement with T -cycle experiments

same trend as in new large scale simulations by Berthier and Young!



\Rightarrow go beyond the simple power law $L \sim t^{aT/T_g}$

Time/length relation: a crossover from **critical** to **activated** dynamics

$$t_n = t(l_n, T) \sim \tau_0 l_n^{z_c} \exp\left(\frac{Y(T) l_n^\psi}{k_B T}\right)$$

("super"-activated)

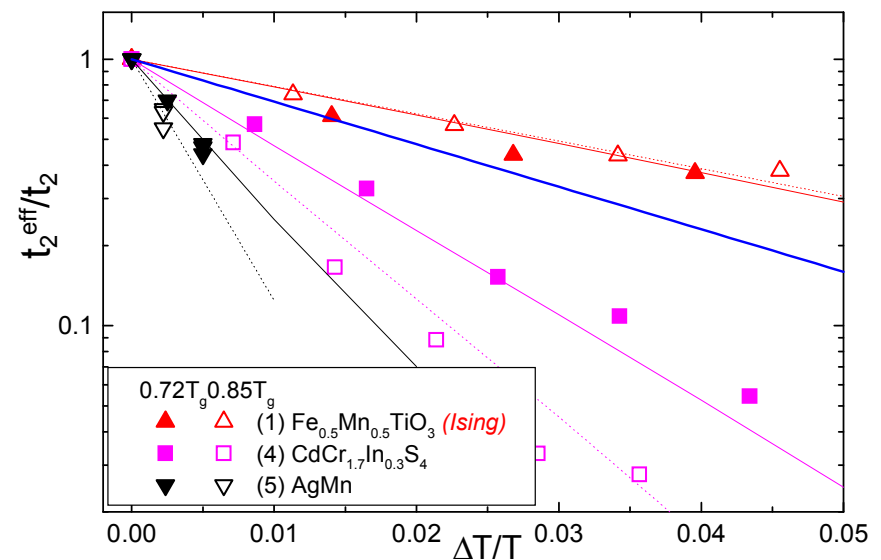
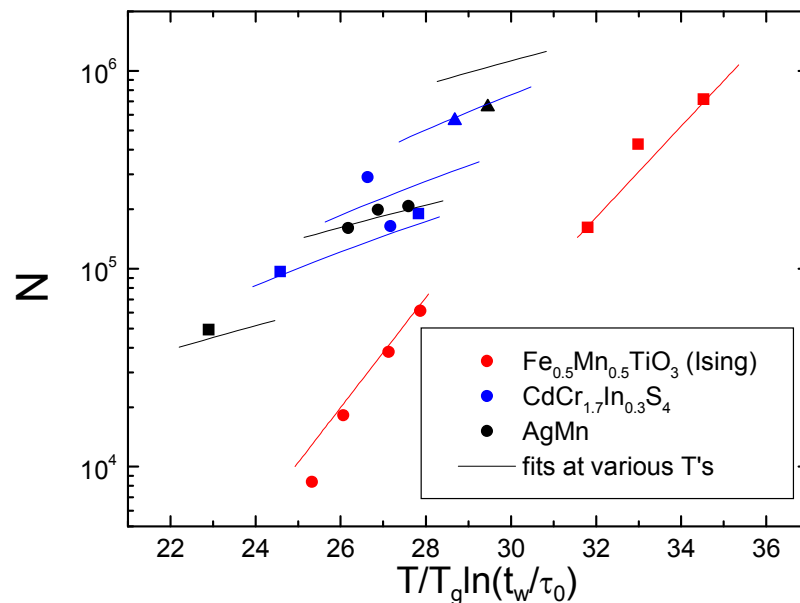
$$Y(T) = Y_0 [1 - T/T_c]^{\psi\nu}$$

not so far from the power law :

$$\Leftrightarrow t \sim l^{z_{\text{eff}}(T)} \quad \text{with} \quad z_{\text{eff}} = \frac{d \log t_n}{d \log l_n} = z_c + \psi \frac{Y(T) l_n^\psi}{k_B T}$$

Bouchaud et al., Phys. Rev. B
65, 024439 (2002)

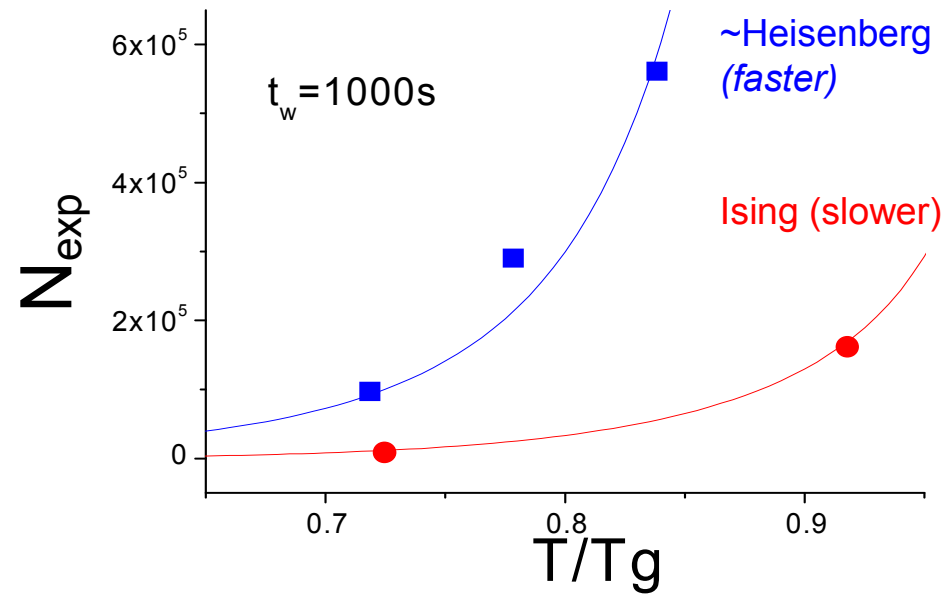
Common analysis of field variation + temperature cycling experiments :



Simultaneous fit of both sets of experiments $\rightarrow N(T, t_w)$ in different samples

↑ anisotropy ↓	Ising	Y_0	ψ	zV
	(1)	14.5	0.03	10.5
	(4)	1.2	1.1	7
	(5)	0.7	1.55	5

Heisenberg



\rightarrow stronger "*T-microscope*" effect for Heisenberg spins

(why ???)

Conclusions

- Verres de spin → effets de *rajeunissement et mémoire*
variation systématique avec l'anisotropie des spins :
effet mémoire plus piqué en T pour Heisenberg que pour Ising
 - effets R&M ⇒ ≠ degrés de liberté peuvent être excités à ≠ T's
↔ *hiérarchie d'échelles de longueurs de corrélation dynamiques,*
sélectionnées par la température (effet « microscope »)
 - Expériences de cycles en T + effet du champ TRM(H) →
caractérisation of d'une longueur de corrélation dynamique
 $L(T, t_w) \sim \text{critique} \times (\text{super-})\text{activé}$
-
- Où trouver une hiérarchie d'échelles de longueurs ou de temps ?
 - verre de spin en champ moyen (Cugliandolo Kurchan)
 - « ferromagnétiques spéciaux » (2d XY Berthier Holdsworth, modèle de Potts à 30 couleurs Ricci) – voir aussi expériences sur *ferromagnétiques désordonnés*
 - verres structuraux et polymériques ? probablement oui